

## **Погодичная реконструкция средней летней температуры воздуха на севере Западной Сибири с 1690 г. на основе данных о радиальном приросте деревьев**

В. С. МАЗЕПА

*Институт экологии растений и животных УрО РАН  
620219 Екатеринбург, ул. 8 Марта, 202*

### **АННОТАЦИЯ**

Возможность количественной погодичной реконструкции термических условий летних месяцев на севере Западной Сибири от Полярного Урала ( $64\text{--}68^{\circ}$  с. ш.,  $64\text{--}68^{\circ}$  в. д.) до р. Енисей ( $66\text{--}70^{\circ}$  с. ш.,  $86\text{--}89^{\circ}$  в. д.) обусловлена тесной и достаточно стабильной связью между динамикой радиального прироста хвойных древесных растений, в частности лиственницы сибирской и ели сибирской, и соответствующими климатическими факторами. Процент изменчивости в динамике годичного прироста в этом экстремальном для роста деревьев районе, который обусловлен динамикой средних месячных температур воздуха июня и июля, достигает 50 %.

Осуществлена пространственная погодичная реконструкция летних температур воздуха (июнь–июль) на основе соответствующих реконструкций по 11 метеостанциям. Анализ реконструированных температур воздуха показал значительные их изменения за последние 300 лет. Наиболее сильное похолодание наблюдалось в XIX в., а потепление – в XVIII и XX вв.

### **ВВЕДЕНИЕ**

В последнее десятилетие проблеме изменения климата уделяется значительное внимание. Особенно актуальными стали вопросы экологических последствий таких изменений, так как климат – это главный фактор, лимитирующий потенциальную продуктивность на глобальном уровне. Дефицит температуры и осадков – это основной ограничитель вегетационного периода [1, 2].

Известно, что климат северных регионов оказывает лимитирующее влияние на ход естественных процессов всех экосистем. В условиях Крайнего Севера термический режим является важнейшим экологическим фактором, который определяет состав, структуру и динамику наземных и водных экосистем.

Анализ инструментальных температурных данных показывает более высокую из-

менчивость температуры воздуха в районах, расположенных в высоких широтах [3]. Феномен возрастания изменчивости характеристик климата атмосферы в полярных областях иногда называют полярным усилением [4]. Климатическая система этих районов оказывает большее влияние на ход глобальных температур по сравнению с районами, расположенными в средних и низких широтах [5].

В этом смысле Западная Сибирь (в частности, ее северные районы) уникальна. Во-первых, огромная территория Западно-Сибирской равнины с запада, юга и востока окружена материком. Лишь с севера она открыта для преобладающих циклонических процессов Атлантики. Во-вторых, степень ее изученности выше по сравнению с Восточной Сибирью. В-третьих, огромное экономическое значение региона. Поэтому знание детальной истории климата тако-

го региона, как север Западной Сибири, необходимо для понимания процессов в экосистемах различного уровня организации.

Оценка изменений климата на региональном уровне до сих пор является слабо разработанным вопросом. Одна из причин этого в том, что обеспеченность многих районов количественными характеристиками климата явно недостаточна по их длительности. Так, на севере Западно-Сибирской равнины имеется небольшое число метеостанций, которые действовали до 30-х годов нынешнего столетия. Самые длинные ряды наблюдений имеются по метеостанциям Березово (с 1832 г.), Салехард (с 1883 г.), Ханты-Мансийск (с 1897 г.) и Туруханск (с 1878 г.). У всех метеостанций имеется значительное количество пропусков в наблюдениях. Оценить длительную тенденцию по этим данным невозможно. Необходимы надежные оценки хотя бы основных параметров.

Известны различные геологические и биологические явления, по которым возможна оценка или реконструкция элементов климата. Среди них – рост дерева в прошлом. На прирост древесных растений, произрастающих на северном пределе их распространения, большое влияние оказывают климатические факторы, в частности термические условия летних месяцев.

В связи с этим важное практическое значение приобретают дендроклиматические исследования в этих районах, т. е. выявление статистических связей между величиной годичного прироста деревьев и климатическими характеристиками. Затем на основе этой ин-

формации производят реконструкции климатических условий за периоды, намного превышающие длительность инструментальных метеорологических наблюдений. Периоды реконструкций по своей длительности сравнимы с характерным временем жизни деревьев, а в некоторых случаях намного больше. Дендроклиматические работы по субарктическим районам Урала и Сибири посвящены именно этим вопросам [6–15].

В этой работе представлены результаты погодичной пространственной реконструкции летней (июнь–июль) температуры воздуха за последние 300 лет на севере Западной Сибири от Полярного Урала ( $64\text{--}68^{\circ}$  с. ш.,  $64\text{--}68^{\circ}$  в. д.) до р. Енисей ( $66\text{--}70^{\circ}$  с. ш.,  $86\text{--}89^{\circ}$  в. д.) на основе климатической информации, содержащейся в годичных кольцах деревьев.

## МАТЕРИАЛ И МЕТОДИКА

В работе использованы 26 обобщенных древесно-кольцевых хронологий, построенных по образцам живых деревьев. Образцы собраны в 1991–1993 гг. Брали три вида хвойных – *Larix sibirica* Ledeb., *Picea obovata* Ledeb., *Pinus sylvestris* L. Места взятия образцов деревьев более или менее равномерно распределены по территории севера Западной Сибири (рис. 1). Среднее расстояние между точками сбора образцов составляет примерно 200 км. В каждой точке брали не менее 15 буровых образцов. Продолжительность построенных хронологий изменяется от 227 до 488 лет. Местоположения сбора

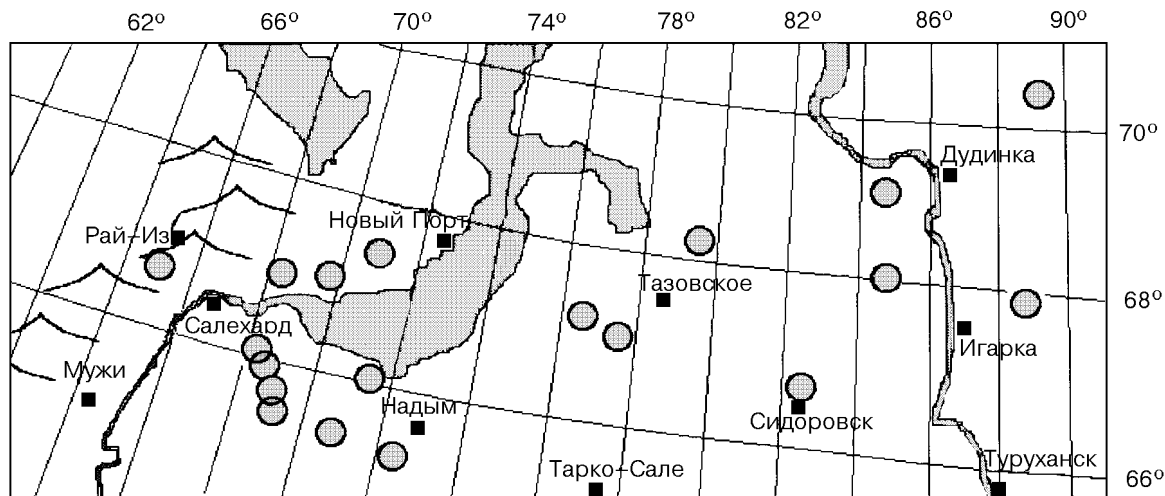


Рис. 1. Расположение дендроклиматической сети и базовых метеостанций.

образцов приведены в табл. 1. Общая характеристика рядов приведена в табл. 2. Более подробная характеристика приведена в работе [15].

При построении обобщенных рядов в первую очередь производили индексирование рядов ширины годичных колец каждого образца, т. е. снижение до минимума зависимости размеров годичных слоев от возраста и других факторов неклиматической природы. Для оценки такого тренда использовался кубический сплайн [16]. При вычислениях из множества статистических пакетов и специальных программ для дендрохронологических исследований использовалась программа TREND [17]. Это вызвано двумя обстоятельствами. Во-первых, материал желательно обрабатывать по одной методике, избегая при этом возможных различий в результатах, во-вторых, что более важно, должна быть возможность вносить поправки в форму возрастной кривой непосредст-

венно при вычислениях при помощи специального графического редактора.

Таким образом, для каждой точки дендроклиматической сети были проиндексированы имеющиеся ряды ширины годичных колец. Получен набор рядов индексов годичного прироста каждого дерева, взятого в этой точке. Эти ряды обладают следующими существенными для поставленной цели свойствами. Их значения выражены в процентах, т. е. в относительных единицах. У них одинаковые средние (100 %) и статистически равные дисперсии. Теперь они сравнимы. У каждого ряда максимально исключены индивидуальные характеристики роста дерева по диаметру. Эти ряды отражают в большей степени общую изменчивость, характерную для данной точки сети, а не индивидуальную. Количественно это свойство оценивают величиной отношения сигнал–шум [18]. Оно характеризует взаимокорреляцию

Таблица 1

**Местоположения участков и виды древесных растений, для которых получены обобщенные древесно-кольцевые хронологии по ширине годичных колец**

Код ряда	Местоположение	Географические координаты		Высота над ур. м.	Вид дерева*
		с. ш.	в. д.		
<i>Полярный Урал</i>					
SOB	Верхнее течение р. Собь	66°48'	65°48'	120	LASI
SOP	Там же	66°48'	65°48'	120	PCOB
<i>Западная Сибирь</i>					
SCH	Нижнее течение р. Щучья	66°49'	69°17'	20	PCOB
KHA	Среднее течение р. Хадыгаяха	67°12'	69°50'	10	LASI
KHD	Там же	67°07'	69°54'	14	PCOB
JAH	Среднее течение р. Ядыяхадыяха	67°25'	70°58'	25	LASI
NID	Низовье р. Надым	66°13'	71°40'	20	PCOB
CHA	Среднее течение р. Хадуттэ	67°28'	76°46'	20	LASI
IND	Среднее течение р. Индига	68°08'	79°46'	30	LASI
SKH	Нижнее течение р. Малая Хета	69°07'	84°30'	50	LASI
POZ	Нижнее течение р. Полуй	66°22'	67°13'	15	PCOB
PLB	Среднее течение р. Полуй	65°27'	68°56'	20	PISY
PLL	Там же	65°27'	68°56'	20	LASI
PDP	»	65°30'	69°28'	25	LASI
PLO	»	65°30'	69°28'	25	LASI
PPP	»	65°21'	69°31'	25	PCOB
PLR	»	65°21'	69°31'	25	LASI
PLP	Верхнее течение р. Полуй	65°18'	69°41'	35	PISY
KHE	Устье р. Хейгияха	65°30'	72°39'	100	LASI
MAL	Нижнее течение р. Табяха	67°07'	77°50'	20	LASI
SID	Нижнее течение р. Таз (Мангазея)	66°40'	82°20'	50	LASI
SIP	Там же	66°40'	82°20'	50	PCOB
SOL	Верховье р. Соленая	68°07'	85°03'	50	LASI
<i>Средняя Сибирь</i>					
IKO	Низовье р. Икон	70°31'	89°30'	70	LASI
KUL	Среднее течение р. Кулюмбэ	67°58'	88°55'	150	LASI
KUP	Там же	67°58'	88°55'	150	PCOB

\* PCOB – *Picea obovata*, PISY – *Pinus sylvestris*, LASI – *Larix sibirica*.

Таблица 2

## Основные статистические характеристики древесно-кольцевых хронологий

Код ряда	Продолжительность	Чувствительность / стандартное отклонение	Отношение сигнал-шум / количество радиусов	Порядок авторегрессии (процент дисперсии)
<i>Полярный Урал</i>				
SOB	1563–1992	0,47/37	27,0/36	—
SOP	1642–1992	0,22/20	10,4/37	—
<i>Западная Сибирь</i>				
SCH	1710–1990	0,23/20	6,3/24	2 (25,2)
KHA	1628–1990	0,40/33	14,2/36	2 (22,9)
KHD	1594–1993	0,26/22	27,8/41	3 (8,7)
JAH	1573–1991	0,41/33	30,3/25	2 (12,6)
NID	1720–1990	0,21/20	8,5/20	3 (15,0)
CHA	1561–1990	0,46/37	31,0/23	3 (11,8)
IND	1592–1990	0,42/34	30,3/18	3 (3,0)
SKH	1606–1990	0,44/34	29,4/29	4 (3,7)
POZ	1656–1992	0,21/19	6,8/26	2 (15,8)
PLB	1614–1992	0,31/26	9,2/17	4 (22,9)
PLL	1557–1992	0,30/26	16,7/26	2 (7,2)
PDP	1505–1992	0,29/26	17,4/11	2 (21,8)
PLO	1684–1992	0,28/25	11,3/20	2 (16,1)
PPP	1597–1992	0,19/17	12,3/42	2 (5,1)
PLR	1609–1992	0,30/25	21,6/38	2 (16,6)
PLP	1595–1992	0,25/22	11,4/41	4 (3,5)
KHE	1764–1990	0,30/25	16,4/18	2 (23,4)
MAL	1745–1990	0,36/30	20,3/13	2 (21,8)
SID	1624–1990	0,27/25	37,1/42	—
SIP	1675–1990	0,20/18	11,2/27	2 (10,3)
SOL	1553–1990	0,47/37	24,8/23	3 (3,3)
<i>Средняя Сибирь</i>				
IKO	1615–1990	0,45/35	27,2/18	2 (4,5)
KUL	1517–1990	0,40/32	36,9/31	2 (7,0)
KUP	1617–1991	0,23/21	13,5/12	3 (12,3)

индивидуальных хронологий, которые составляют обобщенные хронологии сети.

Для оценки изменчивости обобщенных рядов применяли коэффициент чувствительности и стандартное отклонение. Первый характеризует относительную величину погодичной изменчивости прироста, а второй – ее амплитуду.

Известно, что ряды ширины годичных колец обладают некоторой "инерционностью" благодаря физиологическим предпосылкам для роста [19]. Ширина годичного кольца данного года в какой-то степени зависит от роста дерева и условий окружающей среды в прошлом. Климатическая информация, содержащаяся в кольцах деревьев, будет искажена, если не свести до минимума влияние условий предыдущих лет на прирост данного года. Обычно такую структуру рядов индексов годичного прироста достаточно адекватно моделируют авторегрессионным (AR) процессом [20] или процессом авто-

регрессии-скользящего среднего (ARMA) [21], разработанных в теории временных рядов [22]. Ряд индексов прироста может быть выражен в форме линейного разностного уравнения определенного порядка. Порядок авторегрессии отражает статистически значимую зависимость прироста данного года от соответствующего количества предшествующих лет роста. Процент дисперсии в авторегрессии оценивает "инерционность" дерева в реакции на климатическое воздействие.

Вычисление обобщенных рядов производилось как усреднение отдельных рядов индексов прироста для данной точки [23, 24].

Для статистической оценки влияния климатических факторов на рост деревьев в работе использовались данные средних месячных температур воздуха по 11 метеостанциям, расположенным на территории Западной Сибири. Некоторые характеристики инструментальных наблюдений на метеостанциях указаны в табл. 3.

Таблица 3

## Список метеостанций и некоторые их характеристики

Метеостанция	Географические координаты		Высота над ур. м., м	Продолжительность, годы	Температура июня–июля, °C	
	с. ш.	в. д.			средняя	дисперсия
Рай-Из	66°57'	65°28'	882	1939–1990	5,6	1,8
Мужи	65°23'	64°43'	42	1933–1990	12,4	1,5
Салехард	66°31'	66°36'	35	1883–1990	10,9	1,7
Новый Порт	67°42'	72°57'	5	1924–1990	7,3	1,5
Надым	65°36'	72°44'	10	1955–1990	12,5	1,3
Тазовское	67°28'	78°44'	5	1939–1990	10,0	1,7
Тарко-Сале	64°55'	77°49'	65	1937–1990	12,9	1,5
Сидоровск	66°36'	82°18'	20	1949–1990	12,0	1,8
Дудинка	69°24'	86°05'	28	1906–1991	9,3	2,0
Игарка	67°28'	86°34'	20	1929–1991	11,8	1,7
Туруханск	65°47'	86°58'	37	1878–1990	12,8	1,8

Выбор этих метеостанций продиктован следующими обстоятельствами. Метеостанции равномерно распределены по территории. Период наблюдений у них максимальный. Количество пропусков в наблюдениях этих метеостанций минимально. При этом пропуски в наблюдениях заполнялись регрессионным методом на основании соответствующих данных по близлежащим метеостанциям либо других источников информации. Источниками климатической информации были работы [25–28].

Статистическую оценку реакции деревьев на климатические факторы производили хорошо известным в дендроклиматологии методом функций отклика [19]. Реконструкцию летних температур выполняли регрессионным методом [29], с той лишь разницей, что предиктором каждый раз была отдельная метеостанция. В качестве предикторов использовали обобщенные ряды индексов прироста деревьев построенной сети.

## РЕЗУЛЬТАТЫ

Построенные дендроклиматические ряды имеют достаточно сильную погодичную изменчивость и взаимную внутреннюю корреляцию индивидуальных хронологий. Об этом свидетельствуют значения коэффициентов чувствительности, стандартного отклонения и отношение сигнал–шум (см. табл. 2).

Если рассмотреть ряды, построенные по лиственнице сибирской, можно заметить следующее. Среднее значение чувствительности рядов для самых северных семи точек сети составляет 0,44, а для девяти точек более южной

трансекты – 0,33. Различия между ними статистически значимы. То же можно заметить и для стандартных отклонений. Их средние значения равны 0,35 и 0,28 соответственно. Средние значения отношения сигнала–шума статистически не отличаются. Их значения равны 27,1 и 22,5 соответственно. Средние значения процента дисперсии, объяснимой в модели авторегрессии, незначительны – 9,8 и 14,6 % для северной и южной оконечностей дендроклиматической сети. Однако заметна тенденция уменьшения этой дисперсии при движении с запада на восток, особенно для северной трансекты.

Для четырех самых северных точек сети, где брали образцы ели сибирской, и четырех более южных точек все три показателя изменчивости – чувствительность, стандартное отклонение и отношение сигнал–шум – статистически не отличаются. Их значения следующие: 0,23 и 0,21, 20,5 и 18,8, 13,1 и 11,0. Средний процент дисперсии, объяснимой в модели авторегрессии – 11,1 и 10,8 %.

Что касается сосны обыкновенной, то ареал ее распространения захватывает лишь южную часть построенной дендроклиматической сети. Средние значения показателей изменчивости для двух точек равны 0,28, 24,0 и 10,3. Средний процент дисперсии в модели авторегрессии 13,2.

Очевидна высокая погодичная изменчивость и тесная корреляция между дендроклиматическими рядами. Корреляция между индивидуальными рядами, составляющими отдельные обобщенные ряды, еще более высокая. Следовательно, обобщенные ряды содержат климатический сигнал. Особенно это выражено для

рядов по лиственнице. Кроме этого, в дендроклиматических рядах наблюдается возрастание изменчивости при движении с юга на север, что сходно с феноменом возрастания изменчивости характеристик климата атмосферы в полярных областях, который иногда называют полярным усилением.

Оценка функций отклика показала (рис. 2), что средняя месячная температура воздуха июня и июля положительно и значимо влияет на рост деревьев текущего вегетационного периода. Самая высокая корреляционная связь средних месячных температур воздуха достигается для рядов по лиственнице. В среднем корреляция между июнем и приростом составляет 0,3, а с июля – 0,54. Максимальные значения 0,46 и 0,71 соответственно. Процент изменчивости в рядах по лиственнице, объяснимый ходом месячных температур, в среднем составляет 40, а максимально 57 для ряда ЯН в среднем течении р. Ядыяхадыяха.

Для рядов по ели сибирской средняя корреляция прироста с июнем и июлям составляет 0,27 и 0,37. Процент изменчивости в рядах по ели, объяснимый ходом месячных температур, в среднем составляет 26. Максимальные значения этих показателей 0,40, 0,47 и 38 %.

Для рядов по сосне обыкновенной теснота связей прироста с летними температурами текущего года оказалась незначительной. Зато значимо и положительно на прирост текущего года влияют температуры октября предшествующего года. Корреляции между приростом и температурой октября для двух рядов равны

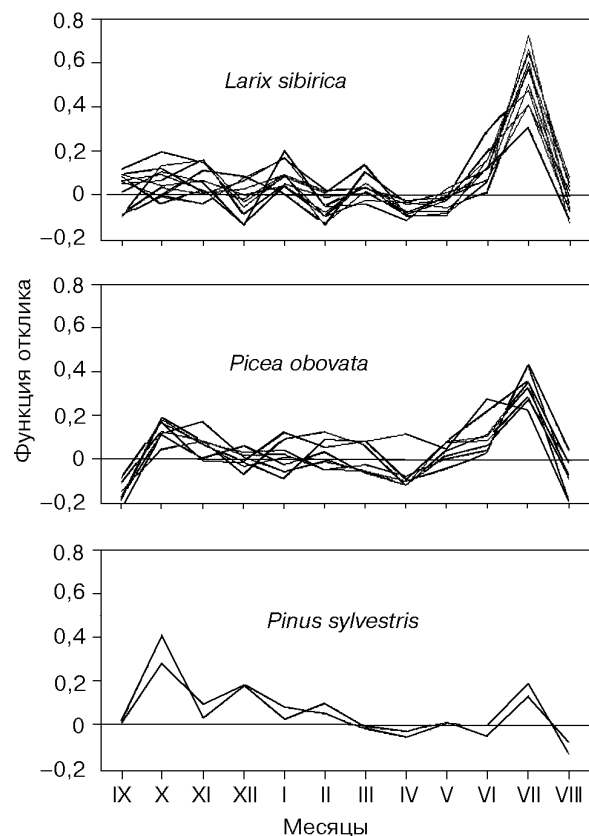


Рис. 2. Функции отклика обобщенных дендроклиматических рядов на средние месячные температуры воздуха.

0,45 и 0,34. Процент изменчивости в уравнении множественной регрессии 27 и 24. Учитывая такой характер влияния температурного режима на рост сосны, эти ряды не включили в процедуру пространственной реконструкции летних температур. В дальнейшем они

Таблица 4

**Характеристики реконструкции средних летних температур воздуха (июнь–июль) моделью множественной регрессии**

Метеостанция	Весь период		Калибровка модели		Верификация модели
	$R^2$	ST	$R^2$	ST	
Рай-Из	0,73	37/13	0,75	20/6	0,57
Мужи	0,70	36/17	0,65	20/10	0,49
Салехард	0,67	81/25	0,70	41/12	0,65
Новый Порт	0,61	42/22	0,63	20/12	0,45
Надым	0,70	26/9	0,62	12/5	0,40
Тазовское	0,78	39/11	0,73	19/7	0,54
Тарко-Сале	0,77	39/13	0,67	20/7	0,55
Сидоровск	0,87	36/5	0,8	19/3	0,63
Дудинка	0,68	61/22	0,61	30/12	0,53
Игарка	0,71	45/16	0,71	22/8	0,58
Туруханск	0,62	81/30	0,65	41/14	0,59

Причина  $R^2$  – коэффициент множественной корреляции, ST – критерий знаков,  $r$  – коэффициент корреляции.

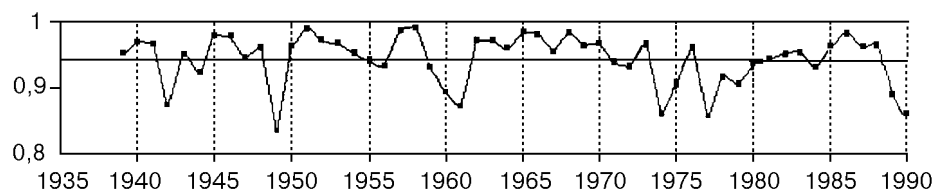


Рис. 3. Изменение корреляций между наблюдаемыми и реконструированными средними температурами воздуха по 11 базовым метеостанциям.

ваться для реконструкции осенних температур воздуха.

Количественные характеристики реконструкции средних летних температур воздуха для

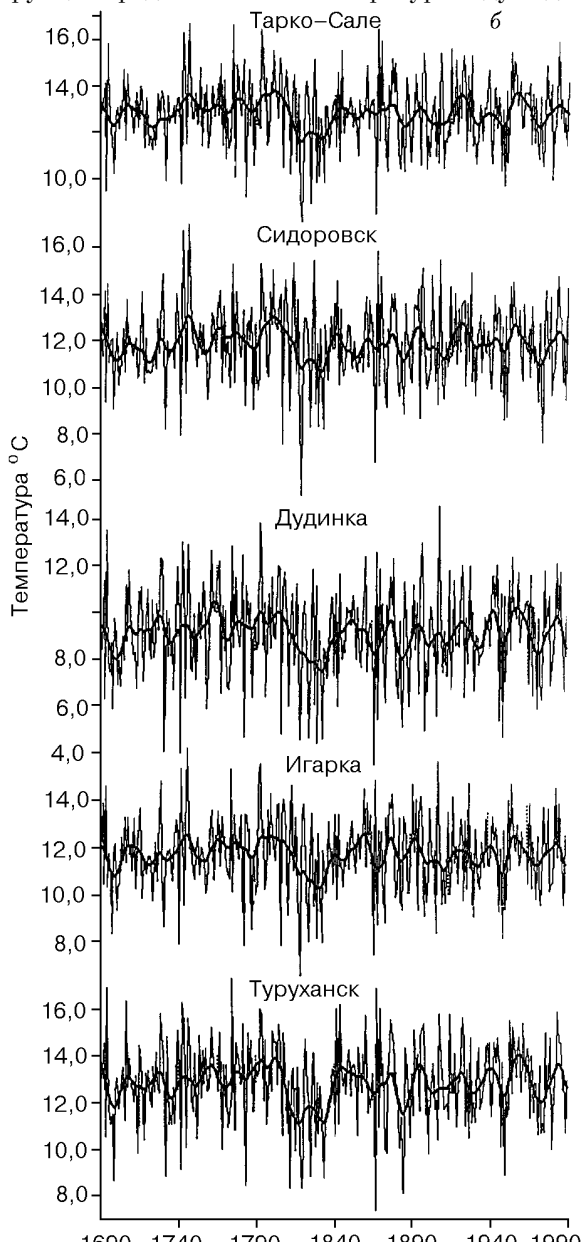
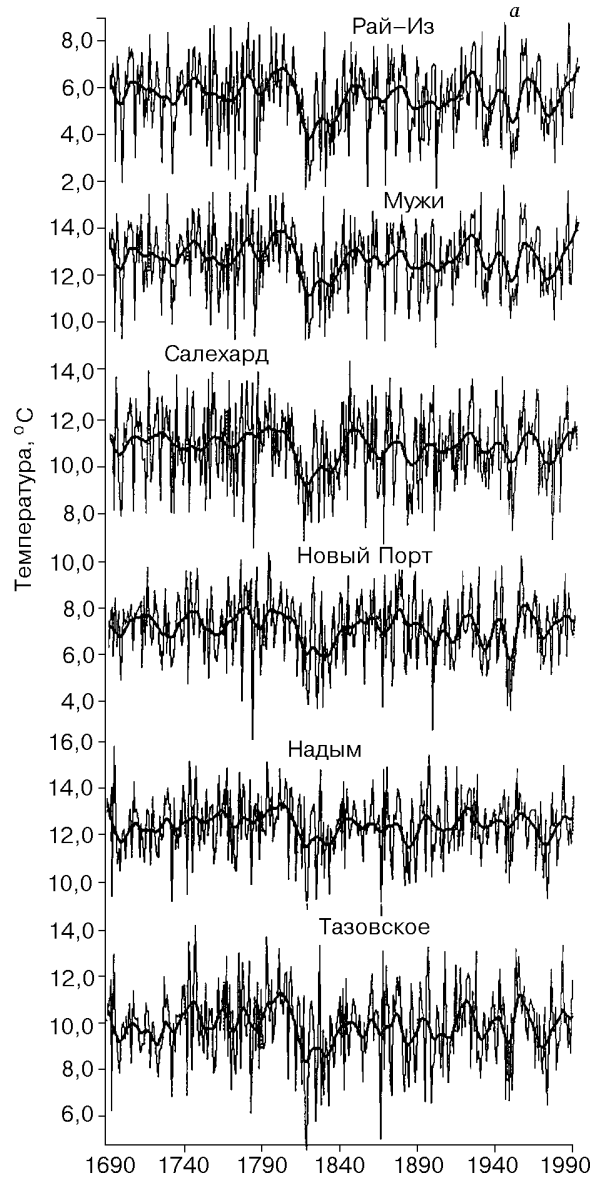


Рис. 4. Точечные (по базовым метеостанциям) реконструкции средней температуры июня–июля по древесно–кольцевым хронологиям.

каждой метеостанции приведены в табл. 4, из которой видно, что коэффициент множественной корреляции практически не изменяется в зависимости от периода, на котором строится модель. Калибровка модели производилась на первой половине всего периода наблюдений на соответствующих метеостанциях. Количество обобщенных рядов в модели множественной регрессии для каждой отдельной метеостанции варьировало от 8 до 18. Высокие значения коэффициентов множественной корреляции показывают хорошее соответствие между ходом средней температуры воздуха (июнь–июль) и изменчивостью обобщенных рядов, окружающих метеостанцию.

Критерий знаков также показывает высокое отношение. Соответствие между ходом наблюденных и реконструированных температур достигает 88 % (Сидоровск) и в среднем составляет 76 %. Наименьшее соответствие получено для метеостанций Мужи (68 %) и Новый Порт (66 %). Анализ лет, в которых получилось несоответствие, показал, что это годы с небольшими отклонениями наблюденной температуры от многолетней средней.

Верификация модели производилась на второй половине всего периода наблюдений. Коэффициент корреляции между ходом наблюденных и реконструированных температур также оказался высоким. При этом реконструкция производилась по параметрам модели, полученным на первой половине периода наблюдений.

Таким образом, качество реконструкции летних температур по каждой метеостанции за период наблюдений оказалось высоким. Рассмотрим теперь это качество по отдельным годам. На рис. 3 представлен график коэффициентов корреляции между наблюденными и реконструированными температурами воздуха по всем 11 метеостанциям. Из рисунка видно, что среднее значение корреляции составляет 0,95 и лишь в отдельные годы (1942, 1949, 1961, 1974, 1977, 1990) его значение чуть ниже 0,9. Это подтверждает высокое соответствие пространственной реконструкции летних температур полученным.

В заключение приведены графики реконструированных летних температур по всем 11 метеостанциям. Из рисунков видно, что долговременные флуктуации по всей территории очень

сходны. Однако есть и различия. Например, холодный период на рубеже XVII и XVIII вв. очень хорошо выражен в восточной части трансекты. В то же время в западной части этот цикл выражен слабее. Самый продолжительный холодный период по всей территории наблюдался в первой половине XIX в. В западной части наиболее холодными были 20-е годы, а в восточной это происходило в 30-е. Холодный период в 80-е годы XIX в. хорошо выражен на всей территории, за исключением Полярного Урала и Южного Ямала.

Работа выполнена при финансовой поддержке Российского фонда фундаментальных исследований, гранты 96-04-48258 и 96-07-89101.

## ЛИТЕРАТУРА

1. Ю. А. Израэль, М. Хашимото, У. Дж. Мак Г. Тегарт, Оценки экологических и социально-экономических последствий изменения климата, Санкт-Петербург, Гидрометеоиздат, 1992.
2. Ю. А. Израэль, О. Канзиани, У. Дж. Мак Г. Тегарт, Оценки экологических и социально-экономических последствий изменения климата, Санкт-Петербург, Гидрометеоиздат, 1993.
3. И. И. Борзенкова, К. Я. Винников, Л. П. Спирина, Д. И. Степановский, *Метеорология и гидрология*, 1976, 7, 27–35.
4. В. Ф. Захаров, Льды Арктики и современные природные процессы, Л., Гидрометеоиздат, 1981.
5. K. R. Briffa, P. D. Jones, *The Holocene*, 1993, 3, 77–88.
6. С. Г. Шиятов, Структура и функционирование биогеоценозов Приобского Севера, Свердловск, 1981, 45–53.
7. Б. Л. Берри, А. А. Либерман, С. Г. Шиятов, *Вестн. МГУ. Сер. 5 (География)*, 1983, 4, 41–47.
8. С. Г. Шиятов, В. С. Мазепа, Временные и пространственные изменения климата и годичные колыца деревьев, ч. 2, Каунас, 1987, 69–84.
9. С. Г. Шиятов, В. С. Мазепа, Г. Фримтс, Проблемы экологического мониторинга и моделирования экосистем, т. XIV, 1992, 125–134.
10. D. A. Graybill, S. G. Shiyatov, Climate Since A.D. 1500, 1992, 397–414.
11. А. П. Ившин, *Экология*, 1994, 4, 8–18.
12. R. M. Hantemirov, International Conference on Past, Present and Future Climate. Publication of the Academy of Finland, 1995, N. 6, 124–127.
13. V. S. Mazepa, Ibid., 136–139.
14. K. R. Briffa, P. D. Jones, F. H. Schweingruber et al., *Nature*, 1995, 376, 156–159.
15. Е. А. Ваганов, С. Г. Шиятов, В. С. Мазепа, Дендроклиматические исследования в Урало-Сибирской Субарктике, Новосибирск, Наука, Сиб. отд-ние, 1996.
16. E. R. Cook, K. Peters, *Tree-Ring Bulletin*, 1981, 41, 45–53.
17. T. Riemer, Trend. User's Guide for Personal Computers, Germany, University of Gottingen, 1991.

18. T. M. Wigley, K. R. Briffa, P. D. Jones, *Journal of Climate and Applied Meteorology*, 1984, **23**: 2, 201–213.
19. H. C. Fritts, *Tree Rings and Climate*, London, New York, San Francisco, Academic Press, 1976.
20. E. R. Cook, Time Series Analysis Approach to Tree-Ring Standardization, Ph.D. Dissertation, Tucson, AZ, University of Arizona, 1985.
21. J. Guiot, *Ecological Modelling*, 1986, 33, 149–171.
22. G. E. P. Box, G. M. Jenkins, *Time Series Analysis: Forecasting and Control*, San Francisco, Holden-Day, 1970.
23. E. Cook, S. Shiyatov, V. Mazepa, Methods of Dendrochronology. Applications in the Environmental Sciences, (E.Cook and L.Kairiukstis eds.), 1990, 123–132.
24. S. Shiyatov, V. Mazepa, E. Cook, *Ibid.*, 133–137.
25. Климатологический справочник СССР, вып. 17, ч. 1, Л., Гидрометеоиздат, 1956.
26. Справочник по климату СССР, вып. 17, ч. 1, Л., Гидрометеоиздат, 1972.
27. P. D. Jones, S. C. B. Raper, B. S. G. Cherry et al., An Updated Global Grid Point Surface Air Temperature Anomaly Data Set: 1851–1990, Oak Ridge, Tennessee, Environmental Sciences Division, 1991.
28. V. N. Razuvayev, E. G. Apasova, R. A. Martuganov, Daily Temperature and Precipitation Data for 223 USSR Stations, Oak Ridge, Tennessee, Environmental Sciences Division, 1993.
29. K. R. Briffa, P. D. Jones, M. L. Wigley, et al., *Journal of Climatology*, 1986, 6, 1–15.

## **Spatial Reconstruction of Summer Air Temperature in the North of West Siberia since 1690 on the Basis of Tree-Ring Data**

VALERI S. MAZEPA

*Institute of Plant and Animal Ecology, Russian Academy of Sciences,  
8 Marta St., 202, Ekaterinburg, 620144 Russia*

Opportunity of annual reconstruction of summer thermal conditions from PolarUrals ( $64\text{--}68^{\circ}\text{N}$   $64\text{--}68^{\circ}\text{E}$ ) up to Yenisei River ( $66\text{--}70^{\circ}\text{N}$   $86\text{--}89^{\circ}\text{E}$ ) is ensured by the high and sufficiently stable relationship between coniferous tree growth (*Larix sibirica*, *Picea obovata*) and corresponding climatic factors. Percent variance in tree-ring chronologies explained by the climate (June–July temperature) in this area extreme for growth of trees reaches 50 %.

Spatial reconstruction of air summer temperature on the basis of point reconstruction for 11 corresponding meteostations has been developed. Analysis of reconstructed temperatures has shown their significant changes for the last 300 years. The strongest fall of temperatures was observed in XIX century, but a rise in temperature was observed in the XVIII and XX centuries.